

(36)

อิทธิพลของระยะลึกและรูปทรงบ่าของเครื่องมือเชื่อมต่อความแข็งแรงของรอยต่อการเชื่อม เสียดทานแบบจุดระหว่างอลูมิเนียมผสม AA1100 และเหล็กกล้าไร้สนิม AISI304

Effect of Depth Penetration and Tool Shoulder on Friction Spot Joining Joint Strength between AA1100 Aluminum Alloy and AISI304 Stainless Steel

อดิศร บาลียนดิษฐ์^{1*}, กิตติพงษ์ กิมะพงศ์²

¹² วิชิตชัย ใจดี อดีตผู้ช่วยศาสตราจารย์ คณะวิศวกรรมศาสตร์ มหาวิทยาลัยเทคโนโลยีราชมงคลรัตนบุรี

ຄໍາຮັດການ ອົງກະຕາຍ ຖະແຫຼງການ ສຳເນົາ | ທຸມອານີ ລັກສິປະລິເນື້ອ 12110

E-mail: Phandit_9@yahoo.com*

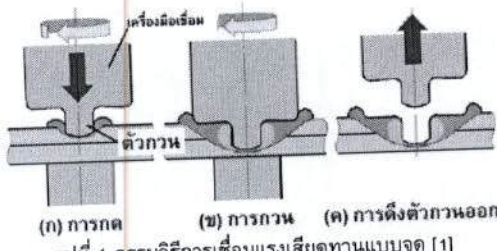
หน้า ๑๖

บทความนี้ มีจุดประสงค์เพื่อทำการศึกษาอิทธิพลของระยะลึกและรูปทรงป่าเคื่องมือเชื่อมเสียดทานแบบบุญตี่ที่มีผลต่อสมบัติของรอยต่อเกียร์หัวงอลูมิเนียมผสม AA1100 และเหล็กกล้าไร้สนิม 304 โดยมีผลการทดลองโดยสรุปดังนี้ รอยต่อเกียร์หัวงอลูมิเนียมผสม AA1100 และเหล็กกล้าไร้สนิม 304 สามารถเชื่อมติดกันและมีความแข็งแรงสูงสุดประมาณ 179 นิวตันต่อตารางมิลลิเมตร ความแข็งแรงของรอยต่อเกียร์มีค่าเพิ่มขึ้น เมื่อระยะความลึกในการเชื่อมจากผิวอลูมิเนียมเพิ่มขึ้น การเชื่อมที่ระยะขอบเขตหัวงอลูมิเนียมและเหล็กกล้าไร้สนิมจะให้ความแข็งแรงของรอยต่อสูงสุด เครื่องมือเชื่อม T4 ที่มีรูปทรงป่าเว้า รัศมี 2 มม. จะให้ถ่วงความแข็งแรงของรอยต่อสูงสุด

ค่าหัก การเชื่อมเสียดทานแบบบุคคล อัญมณีเงิน, เหล็ก,
ทองคำอ่อนๆ ความแข็งแรง

1 หน้า

การเชื่อมเสียดทานแบบจุด (Friction spot joining: FSJ) เป็นกรรมวิธีการเชื่อมในสภาวะของแข็ง (Solid state welding) ที่ถูกพัฒนาขึ้นมาโดยกลุ่มบริษัทมาสด้า (Mazda Motor Cooperation) [1] และบริษัทอุตสาหกรรมหนักคาวาซากิ (Kawasaki Heavy Industry) [2] เพื่อใช้ในการเชื่อมวัสดุแผ่นบาง ในอุตสาหกรรมการผลิตรถยนต์ของประเทศไทยญี่ปุ่น โดยมีจุดประสงค์หลักในการลดปริมาณการใช้พลังงานไฟฟ้าในโรงงานประกอบรถยนต์ในประเทศไทยญี่ปุ่น โดยนำเอาวิธีการเชื่อมนี้เข้าไปทดแทนการเชื่อมด้านทานแบบจุด (Resistance spot welding: RSW) หลักการอย่างง่ายในการทำให้เกิดรอยต่อของโลหะแผ่นบางแสดงในรูปที่ 1 ซึ่งนาฬีเป็นลักษณะของรอยต่อเกยถูกว่างยืดแน่นอยู่บนพื้นระหว่างดังแสดงในรูปที่ 1 (ก) จากนั้นเครื่องมือเชื่อมที่เป็นรูปทรงกระบอกขนาดเล็กติดอยู่ที่ส่วนปลายถูกทำให้หมุนด้วยความเร็วสูงที่กำหนดแล้วก็ดึงดูดตัวกวนลงไปในรอยต่อด้วยความเร็ว แรงกด และระดับความลึกที่กำหนดจะกระแทก บ่าของเครื่องมือรุ่มลงไปบนพื้นโลหะด้านบนของรอยต่อดังแสดงในรูปที่ 1 (ข) จากนั้นตัวกวนจะถูกอกดแซ่ที่ดำเนินการตามระยะเวลา



รูปที่ 1 กรรมวิธีการเชื่อมแรงเสียดทานแบบจุด [1]

ร้อยต่อวัสดุต่างชนิดที่ได้รับความสนใจในการนำไปใช้งาน ในอุตสาหกรรมผลิตภัณฑ์ในปัจจุบันมีหลายชนิด หนึ่งในนั้นคืออย่างต่อไปนี้คือการนำร่องวิธีการผลิตภัณฑ์ที่ใช้ในกระบวนการน้ำมันผู้คิดค้นมีจุดประสงค์เพื่อท้าให้นักนักวิเคราะห์ของโครงสร้างภายนอกที่ผลิต ทำให้เครื่องยนต์ใช้งานได้เต็มประสิทธิภาพ ประหยัดการใช้น้ำมัน และส่งผลกระทบต่อการรักษาสิ่งแวดล้อม ที่ผ่านมาการรายงานผลการทดลองการประยุกต์ใช้การเชื่อมเสียดักทานแบบจุดในการเชื่อมรอยต่อระหว่างอลูมิเนียมระหว่างอลูมิเนียมและเหล็กที่นำเสนอในคิอ Fujimoto et al. [1] ได้รายงานการเชื่อมเสียดักทานแบบจุดโดยต่อเกี่ยรระหว่างอลูมิเนียมผสม 6061 กับเหล็กกล้าคาร์บอนต่ำ ผลการทดลองพบว่าความแข็งแรงสูงสุดของรอยต่อ มีค่าใกล้เคียงกับการเชื่อมความต้านทานแบบจุด นอกจากนั้น Tanaka and Kumagai [2] ได้เชื่อมเสียดักทานแบบจุดโดยต่อเกี่ยร



อลูมิเนียม 6061 และเหล็กกล้าคาร์บอนดำ โดยศึกษาความสัมพันธ์ระหว่างรูปแบบของตัวกวนที่สอดเข้าไปในรอยต่อเกย ระหว่างเหล็กกล้าและอลูมิเนียม และความเร็วของตัวกวน พนวณร้อยต่อเมื่อมีความแข็งแรงสูงสุด มีสารประกอบที่โลหะก่อตัวขึ้น แต่ไม่ส่งผลต่อกลไนท์ฟรัคเชอร์เพธ (Fracture Path) ของรอยต่อไม่ได้เกิดขึ้นผ่านแนวนี้ Lin et al. [4-5] และให้เห็นถึงความแตกต่างของโครงสร้างอุลติมาร์ตและรูปแบบการจัดข้าดของแนวเชื่อม ที่เกิดจากเชื่อมโดยเครื่องมือเชื่อมที่มีรูปทรงบานแบนและรูปทรงบ่าเอียง กิตติพงษ์ กิมพงษ์ [6] ได้ประยุกต์ใช้การเชื่อมเสียดทานแบบบุตรอยู่ต่ออลูมิเนียมเกรด AA1100 และเหล็กกล้าไร้สนิม 304 โดยทำการศึกษาตัวแปรประกอบไปด้วย ความเร็วอบ ความเร็วสอด เวลากด เช่น และรายงานความแข็งแรงของรอยต่อที่มีค่าสูงกว่าอลูมิเนียมหลักที่ใช้ในการทดสอบ

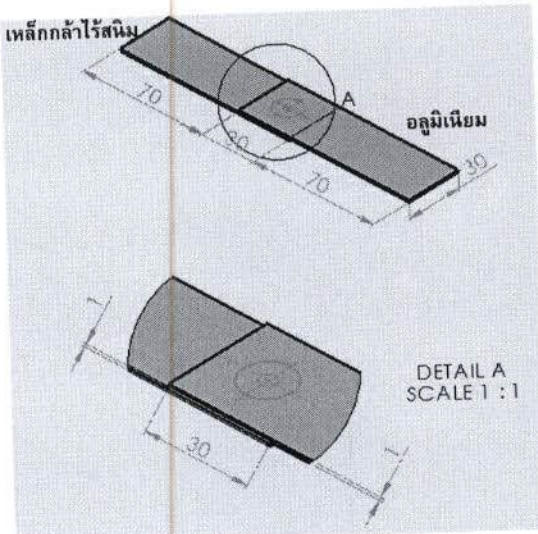
อย่างไรก็ตามผลการทดลองที่เกี่ยวข้องกับตัวแปรการเชื่อม อีนๆ ของ การเชื่อมเสียดทานแบบบุตรอยู่ต่ออลูมิเนียมเกรด AA1100 และเหล็กกล้าไร้สนิม 304 ไม่ได้มีการรายงานไว้ ดังนั้น ผู้วิจัยจึงมีแนวคิดในการประยุกต์ใช้ FSJ ในการเชื่อมอลูมิเนียมเกรด AA1100 และเหล็กกล้าไร้สนิม 304 โดยทำการศึกษาตัวแปรการเชื่อมเพิ่มเติมที่ประกอบด้วย ระยะความลึกและรูปทรงของบ่าเครื่องมือเชื่อม ที่มีผลต่อความแข็งแรงของรอยต่อเกย เพื่อให้ได้รอยต่อที่มีความแข็งแรงสูงสุดที่สามารถนำไปใช้ในอุตสาหกรรมได้ต่อไป

2. การทดลอง

วัสดุที่ใช้ในการทดลอง คือ อลูมิเนียมแผ่นเกรด AA1100 และเหล็กกล้าไร้สนิม AISI304 แผ่น�ความหนา 1 มม. ที่มีส่วนผสมทางเคมีดังแสดงในตารางที่ 1 ชิ้นทดสอบมีฐานกว้าง 100 มม. และกว้าง 30 มม. โดยทิศทางของการตัดข้างฐานด้านขวาของชิ้นทดสอบ ดังแสดงในรูปที่ 2

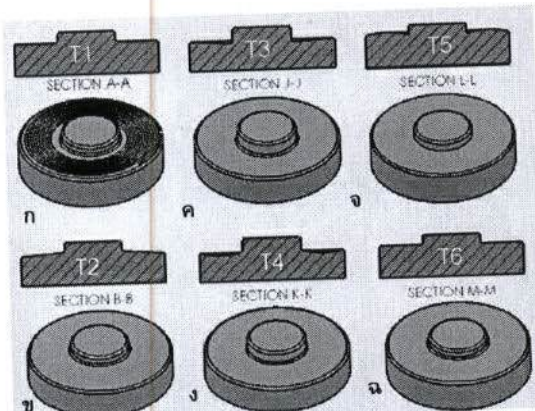
ตารางที่ 1 ส่วนผสมทางเคมีและความด้านทานแรงดึงของวัสดุทดลอง (รายละเอียดในหน้าหลัง)

ธาตุ	อลูมิเนียม	เหล็ก
Fe	-	สมดุล
Al	สมดุล	-
C	-	0.05
S	-	0.004
Cr	-	18.17
Si	<0.95	0.384
N	-	0.037
Mn	<0.05	1.042
Ni	-	8.070
P	-	0.028
Cu	0.05-0.20	-
Zn	<0.10	-
ความด้านทานแรงดึง	164	520



รูปที่ 2 การจัดตัวชิ้นทดสอบอบรอยต่อเกยในการทดลอง

แผ่นอลูมิเนียมวางต่อเกยอยู่บนแผ่นเหล็กกล้าไร้สนิม 30 มม. แผ่นวัสดุทั้งสองถูกยึดในอุปกรณ์จับยืด (Jig) ที่บีดแน่นแน่นกันเคลื่อนที่ของเครื่องจักรแบบอัตโนมัติ



รูปที่ 3 รูปฉายด้านข้างและด้านบนของเครื่องมือเชื่อมที่มีรูปทรงต่างๆ : (ก) เครื่องมือเชื่อม T1 (ข) เครื่องมือเชื่อม T2 (ค) เครื่องมือเชื่อม T3 (ง) เครื่องมือเชื่อม T4 (จ) เครื่องมือเชื่อม T5 (ฉ) เครื่องมือเชื่อม T6

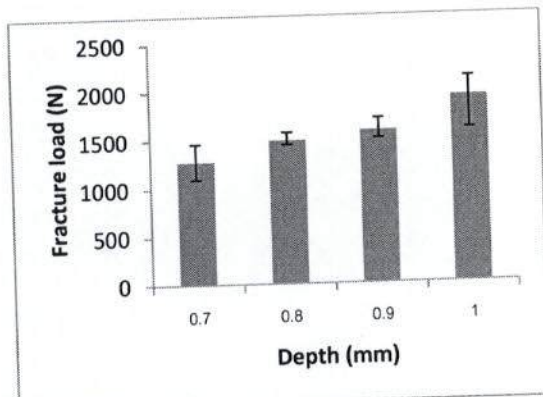
เครื่องมือเชื่อมทำจากเหล็กกล้าเครื่องมือ SKD 11 มีดักงานทรงกระบอกเส้นผ่านศูนย์กลาง 4 มม. สูง 0.7 มม. มีรูปทรงของบ่าเครื่องมือเชื่อม ดังแสดงในรูปที่ 3 เครื่องมือเชื่อม T1 รูปทรงของบ่าเครื่องมือเชื่อมเป็นเกลี้ยวกันขอบ มีระยะพิด 0.29 มม. เครื่องมือเชื่อม T2 และ T3 รูปทรงของบ่าเครื่องมือเชื่อม มีลักษณะเป็นร่องและอุบลร่อง เช่นเดียวกัน ด้วยมุน 4 องศา เครื่องมือเชื่อม T4 และ T5 รูปทรงของบ่าเครื่องมือเชื่อมโค้งเว้าเข้าและมนูนออก ด้วยรัศมี 2 มม. และเครื่องมือเชื่อม T6 รูปทรงของบ่าเครื่องมือเชื่อม แบบเรียบ หมุนด้วยความเร็วอบ 3000 รอบต่อนาที ความเร็วใน



การทดสอบตัวแปรจากผิวด้านบนของอลูมิเนียมมีค่า 8 มม. ต่อนาที ที่ ระยะความลึกจากผิวด้านบนของแผ่นอลูมิเนียม 0.7, 0.8, 0.9 และ 1.0 มม. ตามลำดับ ตัวแปรนี้ถูกทดสอบเข้าไปในแนวเชือกผ่านแผ่น อลูมิเนียม จนกระทั่งปลายตัวแปร ทึบระยะความลึกที่กำหนด ตัว กวนจะถูกดึง ที่ระยะความลึกต่างๆ เป็นเวลาเวลา 3 วินาที ก่อนจะถูกดึงออกจากแนวเชือก ระยะต่อที่ได้จากการเชื่อมนำไปทดสอบ ความแข็งแรงของรอยต่อโดยการดึงเฉือนส่วนกลาง 5 ชั้น ทดสอบแล้วหาค่าเฉลี่ยความแข็งแรงที่ได้ และตรวจสอบโครงสร้าง อุลจักษณ์กล้องจุลทรรศน์แบบแสง เพื่อเปรียบเทียบลักษณะ พื้นที่เกิดการเชื่อม

3. ผลการทดลองและอภิปรายผล

รูปที่ 4 แสดงความสัมพันธ์ระหว่างความแข็งแรงของรอยต่อ เกยและระยะความลึกในการเชื่อมของตัวแปรจากผิวด้านบน อลูมิเนียม โดยใช้เครื่องมือเชื่อม T6 ที่มีรูปทรงของมาตราแบบเรียน ใน การทดลองใช้ความเร็วอบในการเชื่อม 3000 รอบต่อนาที ความเร็วในการกดตัวแปร 8 มม. ต่อนาที เวลาที่ใช้ในการดึงตัวแปร 3 วินาที ที่ระยะความลึก 0.7 0.8 0.9 และ 1.0 มม. ผลการทดลอง พบว่า ความแข็งแรงของรอยต่อมีค่าเพิ่มขึ้น เมื่อระยะความลึกของ ตัวแปรจากผิวอลูมิเนียมเพิ่มขึ้น โดยค่าความแข็งแรงของรอย เชื่อมสูงสุดที่ระยะความลึก 1.0 มม. จากผิวอลูมิเนียม มีค่าเท่ากับ 1935 นิวตัน หรือ มีค่าประมาณ 154 นิวตันต่อตารางมิลลิเมตร อย่างไรก็ตาม เมื่อระยะความลึกลดลงความแข็งแรงของรอยต่อ ลดลง มีสาเหตุมาจากความร้อนเสียดทานที่บริเวณขอบเขตระหว่าง แผ่นอลูมิเนียมและเหล็กกล้าไriseฟัน (Interface) ไม่เพียงพอ ทำให้ การเชื่อมยึดระหว่างวัสดุทั้งสองตัวไม่ดี จึงสามารถสรุปได้ว่าระยะความ ลึก 1.0 มม. เป็นสภาวะการเชื่อมที่เหมาะสมที่สุดสามารถทำให้เกิด รอยต่อที่มีความแข็งแรงสูงได้

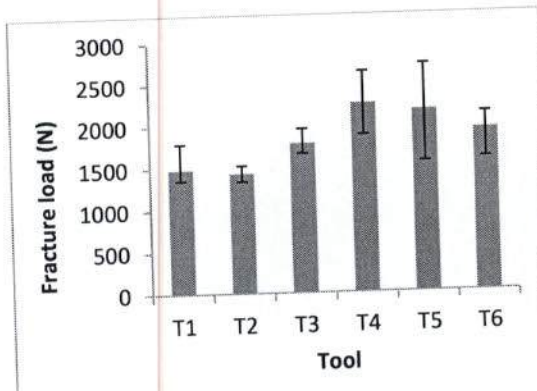


รูปที่ 4 ความสัมพันธ์ระหว่างความแข็งแรงของรอยต่อ กับระยะ ความลึกในการเชื่อมจากผิวอลูมิเนียม

รูปที่ 5 แสดงความสัมพันธ์ระหว่างความแข็งแรงของรอยต่อ กับเครื่องมือเชื่อมที่มีรูปทรงปีกกากระหนาต่างๆ ของการเชื่อมที่ระยะ ขอบเขตระหว่างแผ่นอลูมิเนียมและเหล็กกล้าไriseฟัน ผลการ

ทดสอบความแข็งแรงดึงเฉือนพบว่า การเชื่อมด้วยเครื่องมือเชื่อม T4 ที่มีรูปทรงปีกกา ให้ค่าความแข็งแรงสูงสุด เท่ากับ 2252 นิวตัน หรือประมาณ 179 นิวตันต่อตารางมิลลิเมตร ซึ่งมีค่ามากกว่าความแข็งแรงดึงเฉือนของอลูมิเนียมผสม AA1100 ดัง แสดงค่าไว้ในตารางที่ 1 ขณะที่การเชื่อมด้วยเครื่องมือเชื่อม T2 ความแข็งแรงต่ำสุดที่ 1433 นิวตัน หรือ ประมาณ 114 นิวตันต่อตารางมิลลิเมตร ซึ่งมีความแข็งแรงน้อยกว่าความแข็งแรงของ อลูมิเนียม

เมื่อพิจารณาลักษณะการฉีกขาดของรอยเชื่อม ที่ใช้มีด้วย เครื่องมือเชื่อม T4 ที่ให้ค่าความแข็งแรงสูงสุด พบว่ามีความแข็งแรงมากกว่าวัสดุ เนื่องจากรับแรงดึงได้มากกว่า โดยลักษณะ การฉีกขาดของรอยต่อไม่ได้เกิดผ่านบริเวณการเชื่อม แต่เกิดใน อลูมิเนียมที่เป็นวัสดุหลัก ดังแสดงในรูปที่ 6 (ก) และรอยเชื่อมที่ เชื่อมด้วยเครื่องมือเชื่อม T2 ที่ให้ค่าความแข็งแรงต่ำสุด พบว่ามี ความแข็งแรงต่ำกว่าวัสดุหลัก เนื่องจากรอยเชื่อมไม่สามารถรับแรง ดึงได้โดยเกิดการฉีกขาดบริเวณรอบๆ จุดเชื่อมที่ถูกดึงออกมาน (Pulled out fracture) ดังแสดงในรูปที่ 6 (ข) รอยฉีกขาดที่เกิดขึ้น สอดคล้องกับรอยต่อจากการเชื่อม FSSW [4-5] ของอลูมิเนียม



รูปที่ 5 ความสัมพันธ์ระหว่างความแข็งแรงของรอยต่อ และรูปทรง ปีกกา เครื่องมือเชื่อม

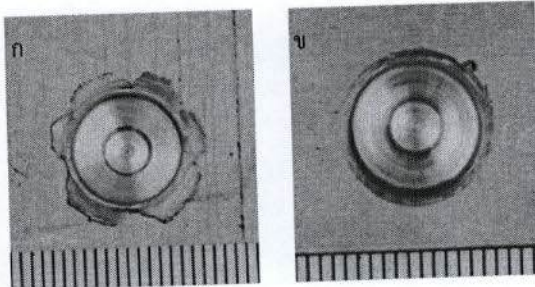


รูปที่ 6 การฉีกขาดของชิ้นทดสอบดึงเฉือน: (ก) รอยต่อที่มี ความแข็งแรงสูงสุด และ (ข) รอยต่อที่มีความแข็งแรงต่ำสุด

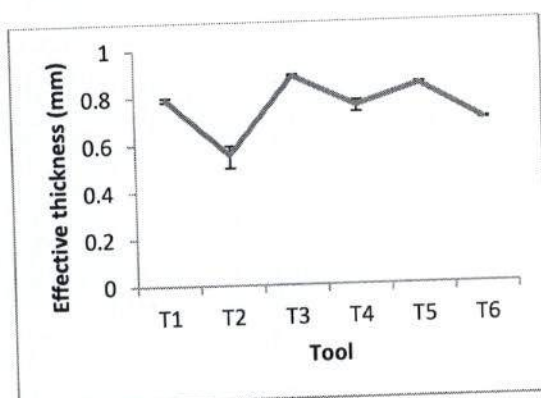


6111-T4 ซึ่งรอยต่อที่มีความแข็งแรงต่าจะเกิดการหลักขาดรอบๆ แนวเชื่อม ขณะที่รอยต่อที่มีความแข็งแรงสูงจะเกิดการหลักขาดผ่านวัสดุอุบลนียม

ลักษณะรอยเชื่อมที่ให้ความแข็งแรงต่าสุด และรอยเชื่อมที่ให้ความแข็งแรงสูงสุด ดังแสดงดังรูปที่ 7 รอยเชื่อมที่ทำการเชื่อมด้วยเครื่องมือเชื่อม T2 มีความแข็งแรงต่า อุบลนียมลันออกมาบริเวณขอบรอยเชื่อมมากจากมีลักษณะเป็นครีบรอบๆ รอยเชื่อมเนื่องจากป่ามีรูปทรงเอียงออก ทำการเหลาของอุบลนียมจะไหลเข้าสู่ด้านบนของผิวสัมผัส ทำให้การทดสอบของวัสดุเกิดได้น้อย เมื่อวัดความหนาของอุบลนียมด้านล่างของบ่าเครื่องมือเชื่อม มีต่าสุดเท่ากับ 0.56 มม. แสดงดังรูปที่ 8 และ รอยเชื่อมทำการเชื่อมด้วยเครื่องมือเชื่อม T4 ซึ่งมีความแข็งแรงสูงสุด บริเวณขอบรอยเชื่อมมีลักษณะเรียบ เนื่องจากลักษณะပ่าที่ได้รับเข้า ทำให้อุบลนียมจะไหลเข้าบีเวนด้วยความแรงและไหลลงบริเวณใต้บ่าของเครื่องมือเชื่อม เมื่อวัดความหนาของอุบลนียมด้านล่างบ่ามีค่า 0.76 มม. ซึ่งมากกว่าความหนาของอุบลนียมที่เกิดจากการเชื่อมด้วยเครื่องมือเชื่อม T6 จากผลการทดลองที่ได้กล่าวกับ Shigeki [7] ที่รอยเชื่อมจากเชื่อมด้วยเครื่องมือที่มีรูปทรงบ่าเอียงออกมีความแข็งแรงน้อยกว่ารูปทรงบานเบี้ยบและ รอยเชื่อมที่ได้จาก

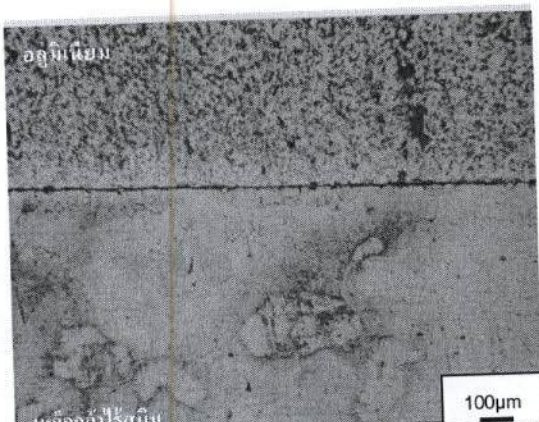


รูปที่ 7 ลักษณะรอยเชื่อมขั้นงานของ (g) รอยเชื่อมที่ให้ความแข็งแรงต่าสุด (h) รอยเชื่อมที่ให้ความแข็งแรงสูงสุด

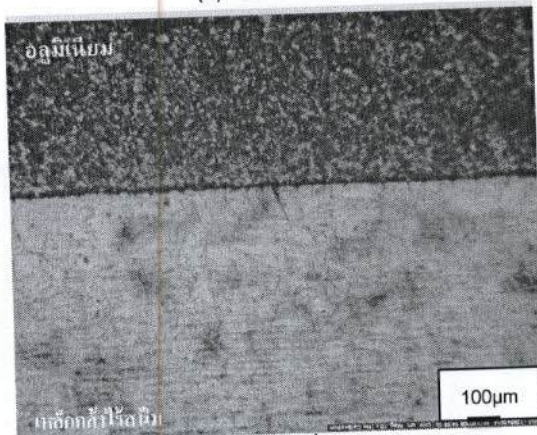


รูปที่ 8 ความสัมพันธ์ระหว่างความหนาของอุบลนียมด้านล่างบ่าเครื่องมือต่อชนิดของเครื่องมือเชื่อม

เครื่องมือเชื่อมที่มีรูปทรงบานเบี้ยบมีความแข็งแรงมากกว่ารูปทรงบานเบี้ยบ ผลการทดลองนี้แสดงให้เห็นว่าความหนาของอุบลนียมที่ด้านล่างของบ่าของเครื่องมือเชื่อม มีผลต่อการเพิ่มความแข็งแรงของรอยต่อ แต่สำหรับที่แท้จริงการมีการศึกษาต่อไป



(g) เครื่องมือเชื่อม T2



(h) เครื่องมือเชื่อม T4

รูปที่ 9 โครงสร้างทางอุลกาคนของรอยต่อเกย์ที่เชื่อมด้วย:(g)
เครื่องมือเชื่อม T2 และ (h) เครื่องมือเชื่อม T4

รูปที่ 9(g) แสดงโครงสร้างทางอุลกาคนชั้นงานของการเชื่อมด้วยเครื่องมือเชื่อม T2 เกิดการเกะยีดกันที่มีความแข็งแรงต่าสุด จะเห็นการกระจายตัวของเกรนในเฟสอุบลนียม จะกระจายตัวทั่ง กว่า เกรนมีความหลาย ขณะที่รอยเชื่อมจากเครื่องมือเชื่อม T4 ซึ่ง เกิดการเกะยีดกันที่มีความแข็งแรงสูงสุด ดังรูปที่ 9(h) ที่การ กระจายตัวของเกรนในเฟสอุบลนียมมีความหนาแน่น เม็ดเกรน ละเอียดกว่า จึงทำให้มีความแข็งแรงมากกว่า อย่างไรก็ตามกลไก การเกะยีด และลักษณะของเฟสที่เกิดขึ้นบริเวณการเชื่อมนี้ จำเป็นต้องศึกษาอย่างละเอียดด้วย กล้องจุลทรรศน์อิเล็กตรอนส่อง ภาพ (Scanning Electron Microscope: SEM) หรือกล้อง จุลทรรศน์อิเล็กตรอนแบบส่องภาพ (Transmission Electron Microscope: TEM) หรือการวัดการหักเหของรังสีเอกซ์ (X-ray Diffractometer: XRD) เพื่อขอรับรายลักษณะการเกะยีดต่อไป



4. สรุปผล

งานวิจัยนี้ประยุกต์การเชื่อมด้วยการเสียดทานแบบจุดกับรอยต่อเกยรห่วงอลูมิเนียมเกรด AA1100 และเหล็กกล้าไร้สนิม 304 และศึกษาการเปลี่ยนแปลงระดับการเชื่อมและลักษณะรูปทรงนำของเครื่องมือเชื่อมที่มีผลต่อสมบัติทางกลของรอยต่อ ผลการทดลองสรุปได้ดังนี้

- 1) รอยต่อเกยรห่วงอลูมิเนียมเกรด AA1100 และเหล็กกล้าไร้สนิม 304 สามารถเชื่อมติดกันและมีความแข็งแรงสูงสุดประมาณ 179 นิวตันต่อตารางมิลลิเมตร
- 2) ความแข็งแรงของรอยต่อเกยรห่วงมีค่าเพิ่มขึ้น เมื่อระดับความลึกของตัวกวนในการเชื่อมจากผิวอลูมิเนียมเพิ่มขึ้น
- 3) การเชื่อมที่รับจะบนเขดระหว่างอลูมิเนียมและเหล็กกล้าไร้สนิมจะให้ความแข็งแรงของรอยต่อสูงสุด
- 4) เครื่องมือเชื่อม T4 ที่มีรูปทรงของป่าเว้า รัศมี 2 มม. เป็นเครื่องมือเชื่อมที่ให้ความแข็งแรงของรอยต่อสูงสุด

กิตติกรรมประกาศ

ขอขอบคุณคณะครุภาร্য สถาบันพัฒนาฝีมือแรงงาน ภาค 8 นครศรีธรรมราช คุณสุริยา ประสนทอง และบุคลากร คณะครุศาสตร์ อุตสาหกรรม มหาวิทยาลัยเทคโนโลยีราชมงคลสุวรรณภูมิ วิทยาเขตสามชุก ที่ให้ความอนุเคราะห์เครื่องมือ อุปกรณ์ และช่วยเหลือในการจัดทำงานวิจัยนี้

เอกสารอ้างอิง

- [1] M. Fujimoto, S. Koga, R. Ohashi and K. Fukuhara. "Friction Spot Joining for Automotive Industry." Proceeding of International Symposium on Joining Technologies in Advanced Automobile Assembly, Tokyo, Japan, Oct. 13-14, 2005: 173-179.
- [2] K. Tanaka and M. Kumagai. "Dissimilar Joining of Aluminum Alloy and Steel Sheets by Friction Stir Spot Welding." Proceeding of International Symposium on Joining Technologies in Advanced Automobile Assembly, Tokyo, Japan, Oct. 13-14, 2005: 181-189.
- [3] M. Fujimoto, S. Koga, R. Ohashi and K. Fukuhara. "Friction Spot Joining for Automotive Industry." Proceeding of International Symposium on Joining Technologies in Advanced Automobile Assembly, Tokyo, Japan, Oct. 13-14, 2005: 173-179.
- [4] Lin, P.-C., Pan, J., Pan, T., 2008a. Failure modes and fatigue life estimations of spot friction welds in lap-shear specimens of aluminum 6111-T4 sheets. Part 1. Welds made by a concave tool. International Journal of Fatigue 30, 74-89.
- [5] Lin, P.-C., Pan, J., Pan, T., 2008b. Failure modes and fatigue life estimations of spot friction welds in lap-shear

specimens of aluminum 6111-T4 sheets. Part 2. Welds made by a flat tool. International Journal of Fatigue 30, 90-105.

- [6] กิตติพงษ์ กิตติพงษ์ "การเชื่อมด้วยแรงเสียดทานแบบจุดของรอยต่อเกยรห่วงอลูมิเนียมผสมเกรด 1100 และเหล็กกล้าไร้สนิม 304" มหาวิทยาลัยเทคโนโลยีราชมงคลธัญบุรี 2552
- [7] Shigeki Hirasawa "Analysis of effect of tool geometry on plastic flow during friction stir spotwelding using particle method" Journal of Materials Processing Technology 210 (2010) 1455–1463